

나노크기 Sn 분말의 산화열처리에 의한 SnO_2 분말의 합성 및 미세조직 특성

오승탁* · 이성일 · 주연준^a

서울산업대학교 신소재공학과, ^{a(주)} 나마텍

Synthesis of SnO_2 Powders by Oxidation Heat Treatment of Nano-sized Sn Powders and Their Microstructural Characteristics

Sung-Tag Oh*, Sung-II Lee and Yeon-Jun Joo^a

Department of Materials Science and Engineering, Seoul National University of Technology,
Seoul 139-743, Korea

^aNAMATECH Co., Ltd., Hanyang Business Incubator, Ansan 426-791, Korea

(Received September 18, 2007; Accepted October 1, 2007)

Abstract Oxidation behavior and microstructural characteristics of nano-sized Sn powder were studied. DTA-TG analysis showed that the Sn powder exhibited an endothermic peak at 227°C and exothermic peak at 560°C with an increase in weight. Based on the phase diagram consideration of Sn-O system and XRD analysis, it was interpreted that the first peak was for the melting of Sn powder and the second peak resulted from the formation of SnO_2 phase. Microstructural observation revealed that the SnO_2 powder, heated to 1000°C under air atmosphere, consisted of agglomerates with large particle size due to the melting of Sn powder during heat treatment. Finally, fine SnO_2 powders with an average size of 50 nm can be fabricated by controlled heat treatment and ultrasonic milling process.

Keywords : Nano-sized Sn Powder, Oxidation heat treatment, SnO_2 Powder, Microstructure

1. 서 론

산화주석(SnO_2) 분말은 투명전극이나 대전방지제의 원료로 사용될 뿐만 아니라 환원성 또는 가연성 가스의 검출을 위한 센서 및 2차 전지 음극소재 등으로 광범위하게 응용되고 있다^{1,2)}. 일반적으로 SnO_2 분말은 Sn-precursor로부터의 화학적인 합성법^{3,4)}, 반응 밀링법⁵⁾ 및 inert gas condensation⁶⁾ 등을 이용하여 제조하고 있다. 그러나 이러한 제조법은 오염물질의 배출, 밀링 과정 중의 불순물 혼입 및 공정의 고비용화로 공업적인 응용에 문제점을 갖고 있다.

이러한 문제점을 극복하고자 최근에는 나노크기의 Sn 분말을 직접 산화시켜 SnO_2 분말로 제조하는 방

법이 연구되고 있다⁷⁾. 여기서 나노크기 Sn 분말은 α -Sn과 β -Sn의 상변태⁸⁾ 시 발생되는 부피변화를 이용하여 제조하는 것으로, Sn ingot의 반복적인 저온 상변태에 의해 약 50 nm 크기의 분말을 얻을 수 있는 것으로 보고되었다⁹⁾. 따라서 저온 상변태법으로 합성한 나노크기 Sn 분말의 산화열처리에 의한 SnO_2 분말의 제조는 일반적인 화학적 및 물리적 합성법과 비교할 때 공정이 단순하고 친환경적이라는 점에서 많은 관심의 대상이 되고 있다. 그러나 앞선 논문에서도 보고한 바와 같이⁷⁾, 나노크기 Sn 분말의 산화 열처리 시에는 Sn의 용융 및 고온에서의 입자성장 등의 문제 등으로 입자크기 제어에 어려움이 있다. 또한 Sn의 산화거동에 대한 정확한 이해가 부족하여

*Corresponding Author : [Tel : +82-2-970-6631; E-mail : stoh@snut.ac.kr]

상대적으로 고온 및 장시간의 열처리가 요구되는 문제점이 있다.

따라서 본 연구에서는 DTA-TG를 이용한 열분석 및 열처리단계별 미세조직 관찰을 통하여 나노크기 Sn 분말의 산화거동을 정량적으로 해석하고자 하였다. 이를 통하여 요구되는 특성을 만족하는 SnO_2 분말의 제조를 위한 최적의 온도조건 및 시간 등 열처리 방법과 산화 열처리 후 형성되는 응집체 제거를 위한 밀링 공정을 제시하고자 하였다.

2. 실험방법

저온 상변태법으로 합성한 순도 99.99% 및 평균입도 50 nm를 갖는 Sn 분말(NAMATECH Co., Korea)을 원료로 사용하였다. 열처리에 따른 산화거동을 해석하고자 시차열 및 열중량 분석기(DTA-TG)를 이용하여 약 80 mg의 Sn 분말을 대기 중에서 승온속도 10°C/min로 1000°C까지 가열하여 온도차 및 중량 변화를 측정하였다. 열처리 단계에 따른 특성 변화를 분석하고자 DTA-TG 결과에서 나타나는 각각의 흡열 및 발열피크 온도의 전후에서 분말을 급랭하였다. 급랭한 시편의 미세조직 분석은 X-선 회절(XRD), 주사전자현미경(SEM) 및 투과전자현미경(TEM)을 이용하여 행하였다. 산화열처리 조건에 따른 특성을 해석하고자 승온속도를 변화하며 1000°C까지 가열하여 미세조직을 관찰하였고, 응집체 제거를 위하여 산화 처리한 Sn분말을 초음파 밀링하였다.

3. 결과 및 고찰

나노크기 Sn 분말의 산화거동을 분석하고자 DTA-TG를 이용하여 승온속도 10°C/min으로 대기 중에서 1000°C까지 가열하여 얻은 결과를 그림 1에 나타내었다. DTA결과에서 보여주듯이 227°C에서는 흡열피크가 560°C에서는 발열피크가 관찰된다. 순수한 Sn의 용점이 232°C임을 고려할 때 DTA곡선에서의 흡열피크는 Sn 분말의 용융에 기인한 것이며, 약간의 용점저하는 Sn 분말의 작은 입자크기(50 nm) 때문으로 해석된다. 한편, TG 결과에서 보여주듯이 약 300°C부터 시편의 무게가 증가하기 시작하여 550°C 이후로는 급격한 증가가 일어남을 알 수 있다. 따라서 이러한 무게변화를 고려할 때 560°C에서 관찰되

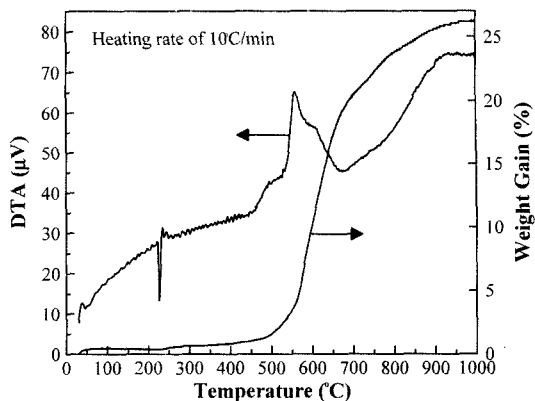


Fig. 1. DTA-TG curve of the Sn powder, scanned at a heating rate of 10°C/min in air atmosphere.

는 발열피크의 경우는 Sn 분말의 산화에 기인한 것으로 해석된다. 최종적으로 1000°C에서의 무게 증가량은 26.4%로 측정되며, 이는 Sn 분말이 SnO_2 로 산화될 경우의 이론적 무게 증가량인 27%과 거의 동일하다. 그러나 Sn은 SnO_2 뿐만 아니라 SnO 및 Sn_3O_4 등의 산화물이 존재하는 것으로 보고된바¹⁰⁾, 가열 중의 정확한 산화거동을 해석하고자 각 온도 별로 상 분석을 실시하였다.

그림 2는 순수한 Sn 분말 및 DTA-TG분석에서 나타나는 흡열과 발열피크 후의 온도에서 급랭한 분말에 대한 XRD 분석결과이다. 순수한 Sn 분말의 경우 α 상과 β 상이 혼합되어 있으며, 이는 저온에서의 반복 상변태 방법으로 제조하는 합성공정에 기인한다. Sn 용점온도 보다 높은 240°C에서 급랭한 시편은 α -Sn 상이 존재하지 않고 β -Sn 및 SnO 상으로만 이루어져 있음을 알 수 있다. α 상은 저온 안정상임으로 가열 시에 β 상으로 변태된 것으로 판단되며, Sn 용점이상에서 약 270°C까지는 액상 Sn과 함께 고상의 SnO 이 공존한다는 Moh¹¹⁾의 연구결과를 참고하여 SnO 가 형성되는 본 실험결과를 설명할 수 있다. 흡열피크 이후의 온도인 670°C에서는 일부 β -Sn 상이 존재하나 대부분이 SnO_2 상으로 변환되었고 SnO 상은 관찰되지 않았다. 최종적으로 1000°C까지 열처리한 분말의 경우는 다른 중간상 없이 모두 SnO_2 상으로 변환되었음을 알 수 있다.

열처리 온도에 따른 분말의 미세조직 변화를 분석하기 위하여 240°C 및 670°C에서 급랭한 분말에 대한 TEM 관찰을 실시하여 그림 3(a) 및 (b)에 각각

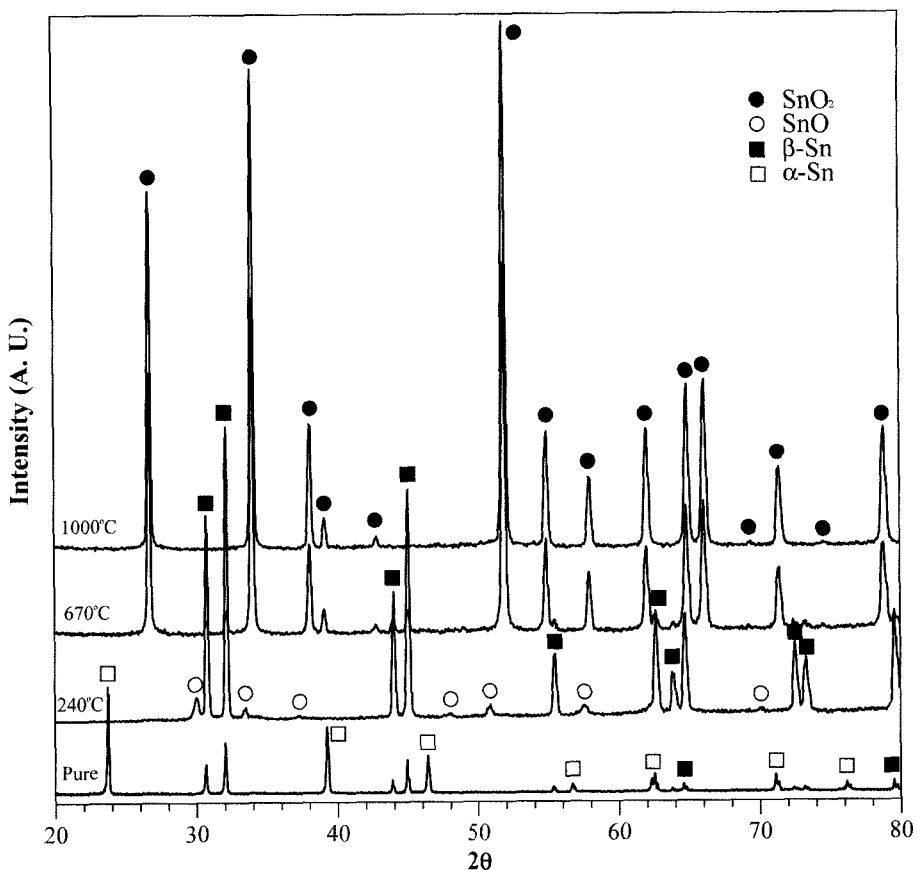


Fig. 2. XRD profiles of the powder at different temperatures of heat treatment.

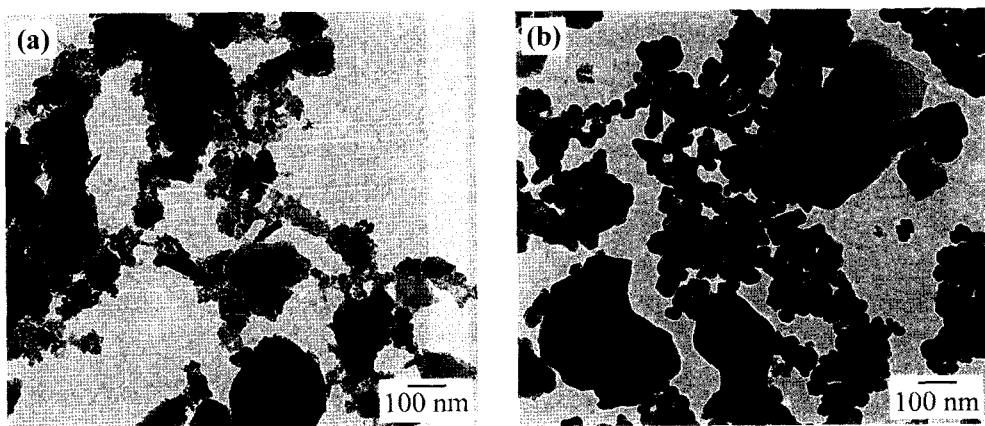


Fig. 3. TEM images of the Sn powder, heat-treated without holding time in air atmosphere at (a) 240°C and (b) 670°C.

나타내었다. 240°C에서 열처리한 분말의 경우 나노크기의 분말과 함께 구형으로 조대화된 입자들이 관찰되었다. 열처리 조건이 Sn의 용융온도 이상인 것과 또한 그림 2의 XRD 결과를 고려할 때 이러한 구형

분말은 SnO 로 산화되지 않고 남아있던 일부 Sn 액상이 합쳐져서 형성된 것으로 판단된다. 그럼 3(b)에 나타낸 것처럼 670°C에서 열처리한 경우는 240°C의 경우와 비교하여 뚜렷한 입자성장이 관찰된다. 따라

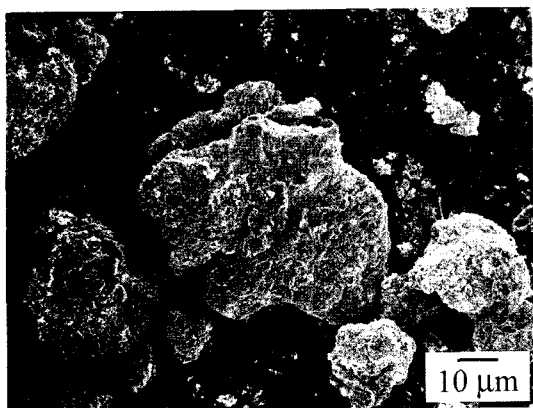


Fig. 4. SEM micrograph for the Sn powder, heat-treated at 1000°C without holding time in air atmosphere.

서 열처리온도가 높아질수록 입자의 크기증가가 예상되며, 열처리 온도가 1000°C인 경우는 그림 4에 나타낸 SEM 미세조직 사진과 같이 입자가 크게 성장하여 조대화된 응집체로 형성됨을 알 수 있다. 따라서 열처리 온도에 따른 반응상 및 미세조직 분석 결과는 Sn으로부터 SnO_2 분말로의 합성이 가능하나 입도제어에는 어려움이 있음을 나타낸다.

산화열처리 중의 입자성장은 주로 Sn의 용융에 따른 액상의 존재에 기인한다. 따라서 산화 처리한 SnO_2 분말의 입도제어를 위해서는 열처리 중 Sn 액상의 존재를 가능한 억제시켜야 한다. 순수한 Sn 금속 보다는 Sn 산화물의 용융온도가 높음을 고려하면, 저온부위에서 주 Sn의 용융이 일어나기 전의 온도에서 적절한 열처리 등을 통하여 Sn산화물을 미리 형성시켜 액상 Sn로 인한 급격한 입자성장을 억제할 수 있을 것으로 판단된다. 이러한 미세조직 제어의

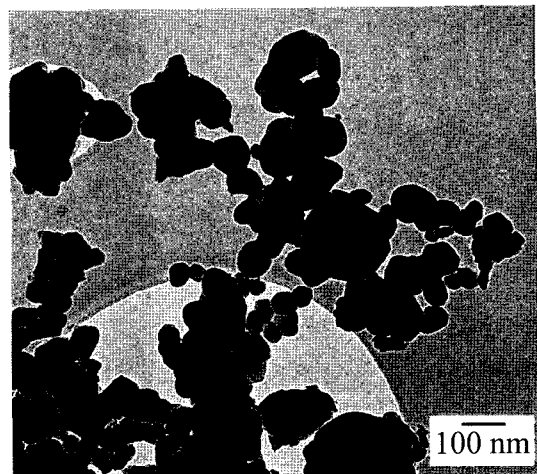


Fig. 6. TEM microstructure of the SnO_2 powder with controlled heating and ultrasonic milling process.

관점에서 다단계 열처리 공정을 적용한 실험을 행하였다.

그림 5는 Sn의 용융온도 근처까지는 3°C/min의 낮은 승온속도를 적용하여 가열하고 이후로는 10°C/min의 승온속도로 1000°C까지 가열하여 관찰한 Sn분말의 SEM미세조직 사진이다. XRD 분석결과 열처리한 Sn 분말은 모두 SnO_2 상으로 변환되었음을 확인하였다. 그림 5(a)와 같이 분말은 응집체를 형성하고 있지만 다단계 열처리를 적용하지 않은 그림 4의 미세조직과는 다른 특성을 나타낸다. 이러한 차이는 확대한 조직사진(그림 5b)에서 명확히 관찰할 수 있는바, 대부분의 입자들이 약 100 nm 이하의 작은 크기를 가지며 응집체를 형성하고 있음을 알 수 있다. 이러한 결과는 액상 Sn의 형성이전 온도에서 승온속도

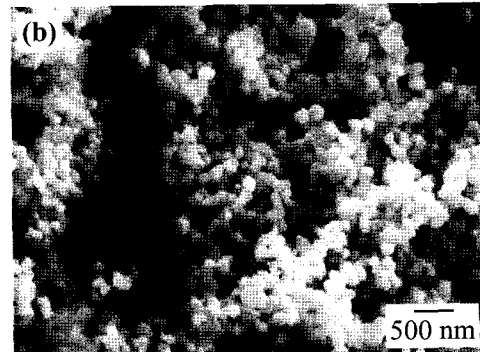
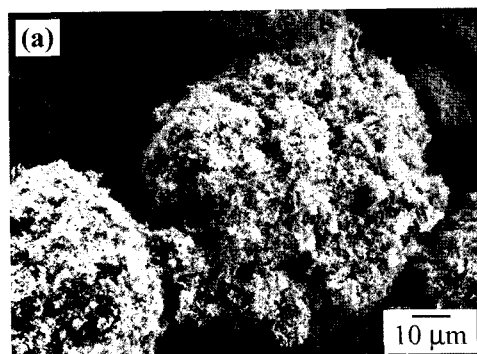


Fig. 5. Typical microstructure of the Sn powder, heated to 1000°C in air atmosphere by using controlled heating process.

조절을 통한 산화물 형성으로 입도제어가 가능함을 나타내나, 한편으론 응집체 제거를 위해서 후속공정이 요구됨을 보여준다.

그림 6은 다단계 열처리 공정으로 합성한 SnO_2 분말의 응집체를 제거하기 위하여 후속공정으로 100시간 동안 초음파 밀링한 시편의 TEM 미세조직 사진이다. 일부 100 nm 크기의 분말도 관찰되나 대부분이 평균크기 50 nm를 갖는 SnO_2 분말들이 커다란 응집체의 형성 없이 존재함을 알 수 있다. 따라서 본 연구에서 적용한 승온속도 제어를 통한 다단계 열처리 및 후속 밀링 공정은 요구되는 미세조직 특성을 갖는 SnO_2 분말의 제조에 적합한 방법임을 나타낸다.

4. 결 론

나노크기 Sn 분말의 산화거동을 열분석 및 열처리 단계별 미세조직 관찰을 통하여 해석하였다. DTA-TG 분석 결과 227°C에서는 흡열피크가 560°C에서는 발열피크 및 급격한 무게증가가 관찰되었으며, 이는 각각 Sn의 용융 및 산화반응에 기인한 것으로 분석되었다. XRD분석 및 평형상태도 비교를 통하여 흡열피크 이후의 분말은 액상 Sn 및 고상 SnO 상으로 존재하며, 발열피크 이후에는 대부분이 SnO_2 상으로 변환됨을 확인하였다. 산화 열처리한 분말은 구형으로 조대화된 미세조직 특성을 나타내었으며 이는 공정 중 일부 존재하는 액상 Sn의 영향 때문으로 해석하였다. 산화 처리한 SnO_2 분말의 입도제어를 위해서 Sn 액상의 존재를 가능한 억제하는 다단계 열

처리 공정과 산화분말의 초음파 밀링공정을 적용하여 약 50 nm 크기를 갖는 SnO_2 분말을 제조할 수 있었다.

감사의 글

이 논문은 2007년도 산업자원부 지원의 부품·소재전문기업기술지원사업에 의하여 연구되었음.

참고문헌

1. M. Batzill and U. Diebold: *Prog. Surf. Sci.*, **79** (2005) 47.
2. J.-P. Ahn, S.-H. Kim, J.-K. Park and M.-Y. Huh: *J. Korean Powder Metall. Inst.*, **8** (2001) 98 (*Korean*).
3. M. Epifani, J. Arbiol, R. Diaz, M. J. Peralvarez, P. Siciliano and J. R. Morante: *Chem. Mater.*, **17** (2005) 6468.
4. J. R. Zhang and L. Gao: *J. Solid State Chem.*, **177** (2004) 1425.
5. F. Legendre, S. Poissonnet and P. Bonnaillie: *J. Alloys Comp.*, **434-435** (2007) 400.
6. K.-M. Lee, W.-N. Juhng, S.-S. Yang and K. Niihara: *J. Korean Powder Metall. Inst.*, **9** (2002) 32 (*Korean*).
7. K.-J. Lee, Y.-J. Joo, Y.-D. So, N.-H. Kim, J.-S. Lee and Y.-H. Choa: *J. Korean Powder Metall. Inst.*, **13** (2006) 46 (*Korean*).
8. E. S. Hedges and J. Y. Higgs: *Nature*, **169** (1952) 621.
9. 주연준: PCT 국제특허출원, pct/kr02/01691 (2002).
10. S. Cahen, N. David, J. M. Fiorani, A. Maître and M. Vilasi: *Thermoch. Acta*, **403** (2003) 275.
11. G. H. Moh: *Chem. Erde*, **33** (1974) 243.